



Gorgan University of Agricultural
Sciences and Natural Resources

Comparison of the effect of adding different nanoparticles on the physical and mechanical properties of the protein film extracted from lantern fish

Azam Siyamiyan¹, Seyed Mahdi Ojagh^{*2}, Mehdi Abdollahi³, Alireza Alishahi⁴

1. Ph.D. Student of Seafood Processing, Faculty of Fisheries and Environmental Sciences, Gorgan University of Agricultural Sciences and Natural Resources, Gorgan, Iran. E-mail: azam.siamian91@gmail.com
2. Corresponding Author, Associate Prof., Dept. of Seafood Processing, Faculty of Fisheries and Environmental Sciences, Gorgan University of Agricultural Sciences and Natural Resources, Gorgan, Iran & Department of Fisheries, Faculty of Natural Resources, University of Tehran, Karaj, Iran. E-mail: ojagh@ut.ac.ir
3. Assistant Prof., Dept. of Biology and Biological Engineering Food and Nutrition Science, Chalmers University of Technology, Gothenburg, Sweden. E-mail: abdollahi.mkh@gmail.com
4. Associate Prof., Dept. of Seafood Processing, Faculty of Fisheries and Environmental Sciences, Gorgan University of Agricultural Sciences and Natural Resources, Gorgan, Iran. E-mail: seafood1144@yahoo.com

Article Info

ABSTRACT

Article type:

Full Length Research Paper

Article history:

Received: 11.01.2023

Revised: 11.08.2023

Accepted: 11.12.2023

Keywords:

Lantern fish,
Nano-Bacterial Cellulose,
Nano-Chitosan,
Nano-Clay,
Nano-Titanium dioxide

In this research, the comparison of the effect of adding nanoparticles (Clay (Cl), Chitosan (Ch), Titanium dioxide (TiO_2) and Bacterial Cellulose (BC)) separately on the physical, mechanical and optical properties of the film prepared from the lantern fish protein was investigated. To prepare nanocomposite films, nanoparticles were added separately at 1 and 3% levels to the protein film solution extracted from the lantern fish. The results showed that by adding nanoparticles in the polymer substrate, the tensile strength of all films showed a significant increase. Elongation at breaking point in films containing nanoparticles of Cl, TiO_2 and BC increased significantly and the water vapor permeability improved in films containing nanoparticles (Cl, BC and TiO_2). The moisture content of the films increased with the addition of nanoparticles and the solubility values showed a significant also increase in the rest of the films containing nanoparticles, except for BC nanoparticles. The opacity of the films also increased with the addition of nanoparticles.

Cite this article: Siyamiyan, Azam, Ojagh, Seyed Mahdi, Abdollahi, Mehdi, Alishahi, Alireza. 2024.

Comparison of the effect of adding different nanoparticles on the physical and mechanical properties of the protein film extracted from lantern fish. *Journal of Utilization and Cultivation of Aquatics*, 12 (4), 37-50.



© The Author(s).

DOI: 10.22069/japu.2023.21871.1830

Publisher: Gorgan University of Agricultural Sciences and Natural Resources

مقایسه تأثیر افزودن نانوذرات مختلف بر ویژگی‌های فیزیکی و مکانیکی فیلم پروتئینی استخراج شده از فانوس ماهی

اعظم صیامیان^۱، سید مهدی اجاق^{*۲}، مهدی عبدالهی^۳، علیرضا عالیشاھی^۴

۱. دانشجوی دکتری فرآوری محصولات شیلاتی، دانشکده شیلات و محیط زیست، دانشگاه علوم کشاورزی و منابع طبیعی گرگان، گرگان، ایران. رایانامه: azam.siamian91@gmail.com
۲. نویسنده مسئول، دانشیار گروه فرآوری محصولات شیلاتی، دانشکده شیلات و محیط زیست، دانشگاه علوم کشاورزی و منابع طبیعی گرگان، گرگان، ایران و گروه شیلات، دانشکدة منابع طبیعی دانشگاه تهران، کرج، ایران. رایانامه: ojagh@ut.ac.ir
۳. استادیار گروه زیست‌شناسی و مهندسی بیولوژیک علوم غذایی و تغذیه، دانشگاه صنعتی چالدرم، گوتینبرگ، سوئد. رایانامه: abdollahi.mkh@gmail.com
۴. دانشیار گروه فرآوری محصولات شیلاتی، دانشکده شیلات و محیط زیست، دانشگاه علوم کشاورزی و منابع طبیعی گرگان، گرگان، ایران. رایانامه: seafood1144@yahoo.com

اطلاعات مقاله

نوع مقاله: در این پژوهش، مقایسه تأثیر افزودن نانوذرات (رس، کیتوزان، تیتانیوم دی‌اکسید و سلولز

مقاله کامل علمی-پژوهشی باکتریایی) به صورت جداگانه بر خواص فیزیکی، مکانیکی و ظاهری فیلم تهیه شده از پروتئین فانوس ماهی مورد بررسی قرار گرفت. برای تهیه فیلم‌های نانوکامپوزیت، نانوذرات به صورت

تاریخ دریافت: ۱۴۰۲/۰۸/۱۰
تاریخ ویرایش: ۱۴۰۲/۰۸/۱۷
تاریخ پذیرش: ۱۴۰۲/۰۸/۲۱

مجرا در دو سطح ۱ و ۳ به محلول فیلم پروتئین استخراج شده از فانوس ماهی اضافه شدند. نتایج نشان داد با افزودن نانوذرات در بستر پلیمر، مقاومت کششی در همه فیلم‌ها افزایش قابل توجهی نشان داد. از دیاد طول در نقطه شکست در فیلم‌های حاوی نانوذرات رس،

تیتانیوم دی‌اکسید و سلولز باکتریایی به شکل معنی‌دار افزایش یافت و میزان نفوذپذیری به بخار آب در فیلم‌های حاوی نانوذرات (رس، سلولز باکتریایی و تیتانیوم دی‌اکسید) بهبود یافت. هم‌چنین رطوبت فیلم‌ها با افزودن نانوذرات افزایش و مقادیر حلالیت نیز به جز در مورد نانوذرات سلولز باکتریایی در بقیه فیلم‌های حاوی نانوذره افزایش قابل توجه نشان داد. کدورت فیلم‌ها نیز با افزودن نانوذرات افزایش یافت.

واژه‌های کلیدی:

فانوس ماهی،
نانو تیتانیوم دی‌اکسید،
نانورس،
نانو سلولز باکتریایی،
نانوکیتوزان

استناد: صیامیان، اعظم، اجاق، سید مهدی، عبدالهی، مهدی، عالیشاھی، علیرضا (۱۴۰۲). مقایسه تأثیر افزودن نانوذرات مختلف بر ویژگی‌های فیزیکی و مکانیکی فیلم پروتئینی استخراج شده از فانوس ماهی. نشریه بهره‌برداری و پرورش آبزیان، ۱۲ (۴)، ۵۰-۳۷.

DOI: 10.22069/japu.2023.21871.1830



© نویسنده‌گان.

ناشر: دانشگاه علوم کشاورزی و منابع طبیعی گرگان

برابر اکسیژن، بسیاری از پژوهش‌گران را به مطالعه فیلم‌های بسته‌بندی مواد غذایی براساس پروتئین‌های مختلف برانگیخته است (۸).

از میان انواع پروتئین، پروتئین میوفیبریل ماهی می‌تواند برای تهیه فیلم‌هایی با شفافیت و استحکام خوب استفاده شود، زیرا پروتئین‌های میوفیبریل توانایی تشکیل زمینه پیوسته‌ای را در طی خشک شدن فیلم دارند (۹). در مقایسه با فیلم‌های مصنوعی، فیلم‌های تهیه شده از پروتئین میوفیبریل به نسبت از خواص مکانیکی ضعیفتری برخوردارند (۱۰). از این‌رو از ذرات نانو برای بهبود خواص عملکردی فیلم‌ها استفاده می‌شود (۹). ادغام پرکننده‌های با اندازه نانو برای تولید نانوکامپوزیت زیستی، مسیری امیدوارکننده برای افزایش خواص مکانیکی، حرارتی و ممانعتی پلیمر زیستی نشاسته است (۱۱).

فناوری نانو در صنعت بسته‌بندی جایگاه ویژه‌ای پیدا کرده است. بیشترین کاربرد این فناوری استفاده از ترکیبات نانو در ایجاد تغییرات مطلوب در فیلم‌های مورد استفاده در بسته‌بندی است. این ترکیبات باعث بهبود (خواص فیزیکی) ممانعت‌کننده از تبادل گازی (خواص بیوشیمیابی) سازگاری با محیط زیست و تجزیه‌پذیری (خواص عملکردی) خواص ضدمیکروبی، جذب اشعه فرابنفش، آنتی‌اکسیدانی و همچنین بهبود تازگی، طعم و بو ماده غذایی و تولید سنسورهای هوشمند برای تشخیص فساد در ماده غذایی می‌شوند (۱۲).

نانوذرات کیتوزان که از یک ماده طبیعی با خواص فیزیکوشیمیابی عالی تشکیل شده‌اند، سازگار با محیط زیست و زیست‌فعال هستند (۱۳). سلولز یکی از فراوان‌ترین مواد زیست‌تخریب‌پذیر در طبیعت است که به‌طور معمول از گیاهان استخراج می‌شود. سلولز باکتریایی توسط میکروارگانیسم‌های مختلف از جمله گلوکونوباکتر تولید می‌شود (۱۴). نانوسلولز باکتریایی،

مقدمه

بسته‌بندی یک فناوری ضروری برای افزایش ماندگاری مواد غذایی، کاهش خطر آسیب محصولات و فساد مواد غذایی است که محصولات غذایی را قادر می‌سازد با بهداشت عالی، مواد مغذی را حفظ (۱) و بر اولین برداشت مصرف‌کننده از یک محصول غذایی تأثیر می‌گذارد. سه هدف اصلی بسته‌بندی حفاظت، انتقال اطلاعات و حمل و نقل را دنبال می‌کند (۲). برای رسیدن به این هدف بسته‌بندی مواد غذایی باید ضمن این‌که مقاومت مکانیکی مطلوبی داشته باشد، بسته به نوع محصول نفوذپذیری بسیار کمی در مقابل بخار آب، اکسیژن و نور نیز داشته باشد (۳).

علی‌رغم این‌که بسته‌بندی‌های پلاستیکی تولید شده از مواد پتروشیمی، ویژگی‌های ترکیبی عالی مانند استحکام کششی خوب، انعطاف‌پذیری، پایداری، نفوذناپذیری و تولید قابل تحقق در مقیاس بزرگ دارند (۴) و مواد ایده‌آلی برای بسته‌بندی محصولات مختلف هستند، اما کم‌تر قابل استفاده مجدد و غیرقابل تجزیه زیستی هستند، که باعث می‌شود در محیط باقی بمانند و تهدیدهای زیست‌محیطی را ایجاد کنند (۱ و ۵). از این‌رو، توسعه مواد زیست‌تخریب‌پذیر سازگار با محیط زیست از منابع طبیعی ضروری است. مواد زیستی تجزیه‌پذیر با آلودگی محیطی کم و زیست سازگاری عالی نسبت به پلیمرهای پلاستیکی معمولی که از طریق صنایع شیمیایی سنتز می‌شوند، مزیت برجسته‌تری در بسته‌بندی مواد غذایی دارند (۶). انتظار می‌رود مواد زیست‌توده، که از حیوانات، گیاهان طبیعی و میکروارگانیسم‌ها مشتق می‌شوند، جایگزین مواد بسته‌بندی غیرقابل تجزیه ستی بدلیل مشتق شدن طبیعی و زیست سازگاری آن‌ها شوند (۷). مواد زیست‌توده عمده‌اً به پلی‌ساقاریدها، لیپیدها و پروتئین‌ها تقسیم می‌شوند. پروتئین‌ها به‌دلیل توانایی قوی در تشکیل فیلم، شفافیت و خاصیت ممانعتی در

تیتانیوم دی‌اکسید از نظر شیمیایی غیرفعال است و در تماس با سایر مواد معمولی که در سیستم‌های پوشش‌دهی به کار می‌روند غیرقابل واکنش می‌باشد. نانوذرات دی‌اکسید تیتانیوم به دلیل خواص منحصر به فرد خود مانند توانایی جذب نور، ثابت دی‌الکتریک بالا، پایداری شیمیایی، زیست‌سازگاری و غیرسمی بودن به عنوان پرمصرف‌ترین ماده در نظر گرفته می‌شوند (۲۱). بر این اساس، نانوذرات تیتانیوم دی‌اکسید در پوشش و بسته‌بندی استفاده شده‌اند (۲۲). وجودان و همکاران افزودن نانوذرات تیتانیوم دی‌اکسید به فیلم ژلاتین-آگار را مورد بررسی قرار دادند. نتایج نشان داد افزودن تیتانیوم دی‌اکسید به بستر کامپوزیت نفوذپذیری به بخار آب را بهبود می‌بخشد (۲۳). همچنین افزودن مقادیر نانوذرات تیتانیوم دی‌اکسید به ایزوله پروتئین آب پنیر، سبب بهبود مقاومت کشش و نفوذپذیری به بخار آب فیلم‌ها شد (۲۴). هم و همکاران مشاهده کردند، افزودن نانوذرات تیتانیوم دی‌اکسید به ژلاتین سبب استحکام کششی و ازدیاد طول در هنگام شکست فیلم‌ها شد، در حالی که نفوذپذیری به بخار آب آن‌ها را کاهش داد. اندازه‌گیری‌های فاکتورهای نور نیز نشان داد که این فیلم‌ها بسیار شفاف هستند و در عین حال دارای خواص ممانعتی عالی در برابر نور UVC هستند (۲۵). در مطالعات پژوهش‌گران پیرامون افزودن نانوذرات کیتوzan، خواص حرارتی و مکانیکی فیلم‌های هیدروکسی پروپیل متیل سلول را افزایش و نفوذپذیری بخار آب را کاهش داد (۲۶). همچنین گزارش شده باعث بهبود قابل توجه خواص مکانیکی شده و در کاهش نرخ نفوذپذیری به بخار آب در فیلم‌های پوره موز عمل می‌کند (۲۷) و مقاومت کشش، نفوذپذیری به بخار آب و حلالیت فیلم‌های ژلاتین ماهی را بهبود بخشید (۲۸). افزودن نانوسلولز به کائزینات سدیم سبب بهبود خواص مکانیکی و

بر خلاف سلوولز گیاهی، عاری از لیگنین و همی‌سلولز است، بنابراین یک ماده زیستی غیرحساسیت‌زا، غیرسمی، زیست‌تخریب‌پذیر و زیست‌سازگار است (۱۵). این دسته از سلوولزها از لحاظ شیمیایی با سلوولز گیاهی یکسان هستند اما خواص مکانیکی، بلورینگی و تخلخل، سازگاری زیستی و توانایی نگهداری آب بالاتری نسبت به سلوولزهای گیاهی دارند (۱۶). نانوسلولز اگر به خوبی پراکنده شود می‌تواند ویژگی‌های پلیمری متعددی از جمله ویژگی‌های مکانیکی، حرارتی، مانع و ترشوندگی سطحی را بهبود بخشد. همچنین می‌تواند آزادسازی ترکیب فعالی را که ممکن است برای ارزش افزوده در پلیمر زیستی گنجانده شود، کنترل کند (۱۷).

مونت موریلوبنیت یکی از متداول‌ترین سیلیکات‌های لایه‌ای است که با یک بار سطحی منفی متوسط مشخص می‌شود که ساختار بلوری کاملی را نشان می‌دهد که توسط یک لایه دو بعدی تشکیل شده است که دارای یک صفحه هشت‌وجهی مرکزی از اکسید آلومینیوم و اکسید منزیم است که با دو چهار وجهی سیلیس خارجی مرتبط شده است (۱۸). مونت موریلوبنیت می‌تواند به طور بالقوه برای کنترل انتشار ترکیبات ضد میکروبی از فیلم به محصول بسته‌بندی شده و همچنین کنترل جو داخلی بسته‌بندی، بسته به بهبود نفوذپذیری گاز و بخار آب کمک کند (۱۹). همچنین سبب افزایش مدول کششی در محتویات پرکننده تا ۱ درصد وزنی، پایداری حرارتی بالاتر و خواص مانع بهتر تا حد زیادی نشان داده شده است (۲۰).

تیتانیوم دی‌اکسید از اکسیدهای فلزی است که در زندگی روزمره کاربرد فراوانی دارد. این ماده پودر سفیدرنگی است که دارای سه فاز کریستالی آناتاز، روتایل و بروکیت است که از این‌بین، فاز آناتاز عملکرد بهتری در برابر نور نشان می‌دهد. ذرات

(مونت موریلولنیت)، کیتوزان، تیتانیوم دی‌اکسید و نانوسلولز باکتریایی) به نسبت ۱ و ۳ درصد وزن خشک پروتئین به ۲۰ سی‌سی آب مقطر اضافه سپس بر روی همزن مغناطیسی به مدت ۲ ساعت هموژن و سپس ۵ دقیقه توسط دستگاه التراسونیک هموژن گردید. محلول حاوی نانو ذرات سپس به درون محلول پروتئین ریخته شد و به مدت ۱۰ دقیقه در دمای اتاق توسط دستگاه التراسونیک هموژن گردید. سپس گلیسرول به عنوان نرم‌کننده به نسبت ۳۵ درصد میزان پروتئین خشک مصرف شده در محلول فیلم، به محلول فیلم اضافه و به مدت ۲۰ دقیقه در دمای اتاق توسط دستگاه همزن مغناطیسی هموژن گردید. سپس محلول فیلم آماده شده حاوی نانوذرات درون پلیت پلاستیکی ریخته شد و در دمای ۳۵ درجه سانتی‌گراد به مدت ۲۴ ساعت درون آون خشک گردید. فیلم‌های خشک شده جهت انجام آزمون‌های بعدی از پلیت‌ها جدا و درون پلاستیک‌های زیپ‌دار و دسیکاتور قرار داده شدند.

سنجهش ضخامت و خواص مکانیکی فیلم‌ها: ضخامت فیلم‌ها با یک ریزسنج دیجیتالی (۰/۰۰۱ میلی‌متر، Mytutoyo ساخت ژاپن) و در پنج نقطه از هر نمونه تکرار شد و میانگین آن در تعیین مقاومت کششی و نفوذپذیری به بخار آب استفاده گردید. آزمایش‌های کشش با استفاده از دستگاه تجزیه و تحلیل بافت آزمایش‌های کشش تمامی نمونه‌ها از نظر رطوبتی تعدیل گردیدند. فیلم‌ها به شکل مستطیل به ابعاد $2/5 \times 10$ سانتی‌متر مرربع بریده شدند. فاصله بین دو فک دستگاه ۵ سانتی‌متر و سرعت حرکت فک‌ها ۵۰ میلی‌متر بر دقیقه انتخاب شد. فاکتورهایی شامل مقاومت کششی و ازدیاد طول در نقطه شکست مطابق روش شماره D882-01 مصوب ASTM به دست آمدند (۳۵).

نفوذپذیری به آب شد (۲۹). نفوذپذیری به بخار آب و مقاومت کشش فیلم آگار بهبود یافت (۳۰). افزودن نانوسلولز تا ۳ درصد به پلیمر آگار باعث افزایش مقاومت کشش و ازدیاد طول در نقطه شکست شد و رطوبت، حلالیت و نفوذپذیری به بخار آب فیلم‌ها با افزایش نانوذرات کاهش معنی‌دار نشان داد (۳۱). مطالعات پیرامون افزودن نانورس به صمغ دانه شبیله، مقاومت کشش و نفوذپذیری به بخار فیلم‌ها را بهبود و رطوبت فیلم‌ها را کاهش داد (۳۲). افزودن نانورس سبب بهبود خواص مکانیکی، رطوبت، حلالیت و نفوذپذیری به بخار آب فیلم‌های بر پایه ژلاتین شده است (۳۳). مونت موریلولنیت در فیلم ژلاتین سبب بهبود ویژگی‌های مکانیکی، جذب آب و نفوذپذیری به بخار آب شده است (۳۴).

با توجه به این‌که فانوس ماهی به عنوان یک منبع ماهی کم‌صرف با داشتن پروتئین ارزشمند در کشور ما تبدیل به پودر ماهی به جهت استفاده در خوارک دام و طیور می‌شود و هیچ پژوهش‌گری بر روی فیلم پروتئینی استخراجی از فانوس ماهی پژوهشی انجام نداده است، هم‌چنین پژوهش‌گران از نانوذرات رس، کیتوزان، تیتانیوم دی‌اکسید و سلولز به صورت مجزا در تولید نانوکامپوزیت‌ها استفاده کرده‌اند ولی مقایسه‌ای بین این نانوذرات انجام نشده است. در این مطالعه سعی شده تأثیر نانوذرات مختلف بر روی فیلم پروتئینی فانوس ماهی مطالعه و بهترین نانو ذره از نظر بهبود خواص مکانیکی و فیزیکی جهت استفاده در صنعت بسته‌بندی انتخاب گردد.

مواد و روش‌ها

در این پژوهش پروتئین میوفیبریل ماهی طی چند مرحله شست‌وشوی گوشت چرخ شده ماهی به روش تغییر pH استخراج شد و محلول ۲ درصد آن تولید و سپس هر کدام از چهار نانوذره (رس

شد و سپس در ظروف حاوی ۵۰ میلی‌لیتر آب مقطر قرار گرفت. ظروف به مدت ۲۴ ساعت در دمای اتاق ۲۵ درجه در جای ثابت قرار داده شد. پس از این مدت نمونه‌ها به وسیله کاغذهای صافی که قبلًاً خشک شده بود فیلتر و در دمای ۱۰۵ درجه سانتی‌گراد به مدت ۲۴ ساعت خشک گردید (۳۸). میزان حلالیت فیلم‌ها به کمک رابطه ۵ محاسبه گردید.

$$(5) \quad 100 \times \text{وزن ماده خشک اولیه موجود در فیلم} / (\text{وزن فیلم خشک پس از غوطه‌وری} - \text{وزن ماده خشک اولیه}) = \text{درصد حلالیت}$$

سنجدش رنگ سطحی و کدورت و انتقال نور فیلم‌ها: ابتدا دستگاه توسط کاشی مخصوص کالیبره و سپس نمونه‌های فیلم بر روی صفحه استاندارد سفید شدند. سپس پارامترهای رنگ مانند L^* (روشنایی)، a^* (قرمزی- سبزی) و b^* (آبی- زردی) برای هر نمونه با در نظر گرفتن ۵ نقطه به صورت تصادفی در هر تکرار به وسیله دستگاه رنگ‌سنچ^۳ قرائت شد. ΔE (اختلاف رنگ کل)، بعد از کسر اختلاف بین پارامترهای L^* , a^* و b^* از صفحه استاندارد سفید، به وسیله رابطه زیر محاسبه شد (۳۷).

$$(6) \quad \text{اختلاف رنگ فیلم} = \sqrt{(L^* - L)^2 + (a^* - a)^2 + (b^* - b)^2}$$

$$(7) \quad \text{شاخص سفیدی} = 100 - \sqrt{(100 - L^*)^2 + a^{*2} + b^{*2}}$$

به‌منظور سنجش میزان کدورت فیلم‌ها و انتقال نور نمونه‌های فیلم به ابعاد 9×40 میلی‌متر در درون سلول‌های اسپکتروفوتومتری قرار گرفت و به‌منظور

3- Lovibond CAM-System 500

$$(1) \quad \frac{\text{(حداکثر نیرو در لحظه پاره شدن)}}{\text{(عرض فیلم} \times \text{ضخامت فیلم)}} = \text{ مقاومت کششی}$$

$$(2) \quad \frac{\text{(ازدیاد طول در نقطه شکست} \times 100)}{\text{(فاصله بین دو فک دستگاه)}} = \text{ درصد ازدیاد طول}$$

اندازه‌گیری میزان نفوذپذیری فیلم‌ها در برابر بخار آب (WVTR)^۱: سنجش میزان نفوذپذیری فیلم‌ها نسبت به بخار آب طبق روش شماره E96 مصوب ASTM صورت گرفت (۳۶). درون سلول‌های اندازه‌گیری نفوذپذیری^۲، آب ریخته و سپس سطح سلول به وسیله فیلم پوشانده و سلول‌ها درون دسیکاتور حاوی سلیکاژل قرار گرفتند. تغییرات وزن سلول‌ها طی زمان با استفاده از ترازوی دیجیتال با دقت ۰/۰۰۰۱ گرم اندازه‌گیری شد. نرخ انتقال بخار آب از رابطه ۳ حاصل شد.

$$(3) \quad \frac{\text{شیب خط}}{\text{سطح سلول}} = \text{نرخ انتقال بخار آب}$$

سنجدش میزان رطوبت و حلالیت در آب: نمونه‌ها با اندازه $2/5 \times 2/5$ سانتی‌مترمربع و وزن مشخص درون پلیت‌های شیشه‌ای که از قبل به تعادل رطوبتی رسیده و توزین شده بودند قرار گرفت. سپس به مدت ۲۴ ساعت در دمای ۱۰۵ درجه سانتی‌گراد خشک گردید. نمونه همراه با پلیت پس از این مدت خارج شده و پس از سرد شدن در دسیکاتور مجددًا توزین گردید. محتوای رطوبت روكش‌ها بر پایه وزن مرطوب از رابطه ۴ محاسبه گردید (۳۷).

$$(4) \quad \text{وزن نمونه مرطوب} / (100 \times \text{وزن آب}) = \text{ درصد رطوبت بر مبنای وزن مرطوب}$$

وزن اولیه نمونه‌های فیلم $2/5 \times 2/5$ سانتی‌مترمربع پس از خشک شدن در دمای ۱۰۵ درجه سانتی‌گراد تعیین

1- Water Vapor Transmission Rate (WVTR)

2- Diffusion cell

نتایج

نانوذرات (رس، کیتوزان، تیتانیوم دی‌اکسید و سلوولز باکتریایی) با دو مقدار ۱ و ۳ درصد به فیلم پروتئینی اضافه شد و فیلم‌ها از نظر ویژگی‌های فیزیکی، مکانیکی و ظاهری مورد بررسی قرار گرفتند و نتایج حاصل از آزمون‌های انجام شده به شرح زیر گزارش شد.

ضخامت فیلم‌ها: همان‌طور که در (جدول ۱) مشاهده می‌شود ضخامت فیلم فاقد نانوذره ۰/۰۹۷ بوده که با افزودن نانوذرات به طور کلی افزایش معنی‌دار ($P < 0/05$) در ضخامت نانوکامپوزیت‌ها مشاهده شد. بیش‌ترین ضخامت ۰/۱۶۸ میلی‌متر و مربوط به فیلم حاوی ۳ درصد نانوسلولز بوده است. پس از نانوسلولز بیش‌ترین ضخامت‌ها به ترتیب در فیلم‌های حاوی نانوذرات تیتانیوم دی‌اکسید و کیتوزان بوده است. افزودن نانوذرات رس تغییر قابل توجهی در ضخامت فیلم‌ها ایجاد نکرده است. که با نتایج حسینی و همکاران با افروden نانوذرات کیتوزان به ژلاتین ماهی (۲۸)، نتایج حاصل از پژوهش‌های وجودان و همکاران پیرامون افزودن تیتانیوم دی‌اکسید به فیلم آگار- ژلاتین (۲۳)، ضخامت افزایش یافت همخوانی دارد.

سنجرش میزان عبور نور در طول موج‌های ۶۰۰-۴۰۰ نانومتر توسط دستگاه اسکن گردید. هم‌چنین به منظور محاسبه میزان شفافیت فیلم‌ها از رابطه ۸ استفاده گردید.

$$\text{ضخامت فیلم} / \text{میزان جذب در } 600 \text{ نانومتر} = \frac{\text{کدورت فیلم}}{(8)}$$

تجزیه و تحلیل آماری: تجزیه و تحلیل آماری داده‌ها با استفاده از نرم‌افزار SPSS نسخه ۲۰ انجام شد. ابتدا بررسی نرمال بودن داده‌ها با استفاده از آزمون (کولموگراف- اسمیرنوف^۱) و سپس همگنی واریانس داده‌ها با آزمون (لون^۲) انجام گردید. جهت مقایسه آماری ویژگی‌های فیلم و تجزیه و تحلیل مقادیر کمی به دست‌آمده از آنالیزهای شیمیایی از تجزیه واریانس یک‌طرفه آنوا^۳ در قالب آزمون دانکن استفاده شد. تمامی نتایج به صورت میانگین \pm انحراف معیار ارائه گردید و مقایسه‌های آماری در سطح اطمینان ۹۵ درصد انجام پذیرفت.

جدول ۱- خواص فیزیکی و مکانیکی فیلم‌های پروتئینی حاوی مقادیر مختلف از نانوذرات.

| نوع فیلم | ضخامت (میلی‌متر) | رطوبت (درصد) | حالیت (درصد) | نفوذپذیری به بخار آب | مقاومت کششی (مگاپاسکال) | افزایش طول (درصد) |
|--------------------------|---------------------|---------------------------|--------------------------|-------------------------|---------------------------|--------------------------|
| شاهد | ۰/۰۹۷ ^a | ۱۸/۰±۱۲/۵۳ ^a | ۴۴/۱±۰/۶۴ ^b | ۵/۰±۸/۶ ^c | ۲/۰±۶۳/۱۹ ^c | ۳۰/۲±۲۶/۰۵ ^f |
| رس ۱ درصد | ۰/۰۹۷ ^a | ۲۳/۰±۵۵/۷۳ ^c | ۴۹/۰±۳۱/۵۸ ^{cd} | ۴/۰±۸۳/۶۹ ^{bc} | ۳/۰±۰/۵/۳۲ ^{cde} | ۴۴/۳±۳۵/۷۷ ^e |
| رس ۳ درصد | ۰/۰۹۸ ^a | ۲۲/۰±۴۲/۹۳ ^{bc} | ۴۷/۱±۷/۰۰۱ ^c | ۳/۱±۵۱/۳۹ ^{ab} | ۴/۰±۰/۶/۷۷ ^b | ۵۷/۰۵±۳۲/۲۵ ^d |
| کیتوزان ۱ درصد | ۰/۰۹۰ ^{ab} | ۲۳/۱±۹۰/۱۷ ^c | ۴۹/۱±۳۹/۱۷ ^{cd} | ۹/۱±۲۷/۲۴ ^d | ۲/۰±۹۲/۲ ^{de} | ۱۲/۱±۶۹/۳۲ ^g |
| کیتوزان ۳ درصد | ۰/۰۹۴ ^{ab} | ۲۳/۱±۷۸/۳۶ ^c | ۵۱/۱±۸۱/۶۶ ^d | ۶/۱±۹۱/۴۹ ^c | ۲/۰±۹۶/۱۷ ^{de} | ۱۵/۱±۷۲/۳۳ ^g |
| تیتانیوم دی‌اکسید ۱ درصد | ۰/۰۹۶ ^{ab} | ۲۳/۲±۰/۵/۲۴ ^{bc} | ۴۲/۲±۳۲/۳۶ ^b | ۴/۱±۸۲/۶۴ ^{bc} | ۳/۰±۷۱/۴۵ ^{bc} | ۷۱/۲±۰/۳/۵۸ ^c |
| تیتانیوم در اکسید ۳ درصد | ۰/۰۹۶ ^{ab} | ۲۴/۱±۳۹/۱۶ ^c | ۴۷/۱±۷۶/۲۵ ^c | ۳/۱±۷۵/۵۶ ^{ab} | ۴/۰±۰/۳/۷۷ ^b | ۸۵/۴±۴۸/۴۲ ^b |
| سلولز ۱ درصد | ۰/۰۹۷ ^a | ۲۱/۰±۱۳/۲۱ ^b | ۳۴/۲±۶۸/۲۵ ^a | ۲/۰±۵۸/۲ ^a | ۳/۰±۳۹/۴۵ ^{bed} | ۴۲/۵±۷۴/۳۸ ^e |
| سلولز ۳ درصد | ۰/۰۹۸ ^a | ۰/۰±۱۲۷/۰۱ ^c | ۳۲/۳±۴۱/۳۳ ^a | ۲/۰±۰/۶/۴۹ ^a | ۷/۰±۳۵/۲۱ ^a | ۹۱/۵±۵۶/۱ ^a |

^a، ^b، ^c حروف کوچک در هر ستون نشان‌دهنده اختلاف معنی‌دار بین تیمارها در سطح $P < 0/05$.

1- Kolomogorov-Smirnov

2- Leven

3- ANOVA

دی اکسید به بستر فیلم ژلاتین افزایش مقاومت کشش و افزایش طول در نقطه شکست (۴۰) همچومنی داشت و افروden نانوذرات سلولز به فیلم کازئینات سدیم (۲۹) و آگار (۳۰) و افروden رس به صمغ دانه شبیله (۳۲) سبب بهبود خواص مکانیکی گردید. اندازه‌گیری میزان نفوذپذیری فیلم‌ها در برابر بخار آب: نفوذپذیری به بخار آب یکی از پارامترهای مهم برای پایداری رطوبت و ماندگاری مواد در نانوکامپوزیت‌ها و از مهم‌ترین ویژگی‌های عملکردی برای ارزیابی بسته‌بندی مواد غذایی است و مقدار آن در فیلم باید تا حد امکان پایین باشد. نفوذپذیری به بخار آب به پارامترهای مختلفی مانند ماهیت ماتریس پلیمری، مواد افزودنی، عامل فعال‌کننده، محتوای آب و ساختار و مورفولوژی لایه‌ها و نانوکامپوزیت‌ها وابسته است (۴۱). نتایج مربوط به نفوذپذیری به بخار آب فیلم‌ها در جدول ۱ نشان می‌دهد که نفوذپذیری به بخار آب با افروden نانوذرات تغییر معنی‌دار ($P < 0.05$) داشته است. نفوذپذیری به بخار آب به طور معنی‌داری از $5/8$ در فیلم فاقد نانوذره تا $2/06$ $\times 10^{-1}$ پاسکال $\times 1^{-1}$ متر $\times 1^{-1}$ ثانیه گرم) در فیلم بهترین نانوذرات کاهش یافت. این درحالی است که درصد نانوسلولز کاهش یافت. بهترین نانوکیتوزان افزایش نفوذپذیری فیلم‌ها در حضور نانوکیتوزان افزایش یافت به گونه‌ای که بیشترین نفوذپذیری به بخار آب به ترتیب در فیلم حاوی ۱ و ۳ درصد نانوکیتوزان به میزان $9/27$ و $6/91$ $\times 10^{-1}$ پاسکال $\times 1^{-1}$ متر $\times 1^{-1}$ ثانیه گرم) بوده است. افروden نانو ذرات به جز نانوکیتوزان منجر به کاهش نفوذپذیری به بخار آب فیلم‌های تولیدی گردید که با نتایج مطالعات دماتوس و همکاران افروden نانوذرات به بستر فیلم ژلاتینی همچومنی داشت (۴۰). کاهش مقدار نفوذپذیری به بخار آب در پژوهش حاضر می‌تواند به دلیل تجمع نانوذرات (با افزایش غلظت) و به دنبال آن بسته شدن

اندازه‌گیری خواص مکانیکی فیلم‌ها (مقاومت کشش، افزایش طول): خواص مکانیکی به عنوان یکی از پارامترهای مهم برای مواد بسته‌بندی، همواره در جنبه‌های بازاریابی و فرآوری محصولات مورد توجه قرار می‌گیرد. خواص مکانیکی قوی می‌تواند مقاومت تنش مواد بسته‌بندی مواد غذایی را در جابجایی، حمل و نقل و نگهداری بهبود بخشد (۳۹). نتایج مقاومت کششی و درصد افزایش طول فیلم‌های تولیدی در جدول ۱ مشاهده می‌شود، مقاومت کششی فیلم با افزودن نانوذرات افزایش معنی‌دار ($P < 0.05$) داشت. به طوری که بیشترین مقاومت کشش مربوط به فیلم حاوی ۳ درصد نانوسلولز با $7/35$ مگاپاسکال و پس از آن به ترتیب مربوط به فیلم حاوی رس ۳ درصد با $4/03$ مگاپاسکال و تیتانیوم دی اکسید ۳ درصد $4/06$ مگاپاسکال و بوده است. کمترین میزان مربوط به فیلم حاوی ۱ و ۳ درصد نانوذره کیتوزان به ترتیب $2/92$ و $2/96$ مگاپاسکال بوده است. افروden نانوذرات به طور کلی باعث افزایش معنی‌دار میزان مقاومت کشش نانوکامپوزیت‌های زیستی شد.

درصد ازدیاد طول فیلم‌ها نیز با افزودن نانوذرات به جز کیتوزان به مقدار قابل توجهی ($P < 0.05$) افزایش یافت. به طوری که ازدیاد طول در فیلم فاقد نانوذره $30/26$ بود که با افروden ۱ و ۳ درصد نانوذرات کیتوزان به میزان $12/69$ و $15/72$ منجر به کاهش معنی‌دار ($P < 0.05$) در ازدیاد طول شد. به طور کلی بیشترین افزایش طول مربوط به نانوکامپوزیت حاوی ۳ درصد نانوسلولز با $91/56$ درصد بود و پس از آن به ترتیب ۳ و ۱ درصد نانوذرات تیتانیوم دی اکسید میزان ازدیاد طول در نقطه شکست را تا $85/48$ و $71/03$ افزایش داد. کمترین میزان افزایش مربوط به نانوذرات سلولز ۱ درصد با $42/74$ و نانوذرات رس ۱ درصد با $44/35$ بوده است. که با نتایج از مطالعه دماتوس و همکاران با افروden نانوذره تیتانیوم

میزان حلالیت در آب، یکی از مشخصه‌های کیفی مهم برای بسته‌بندی‌های استفاده شده در محصولات غذایی بهشمار می‌آید. بیوپلیمر مورد استفاده در بسته‌بندی مواد غذایی باید کمترین حساسیت به رطوبت را دارا باشد. در غیر این صورت، در طول زمان کارایی فیزیکی خود را از دست داده و قادر نخواهد بود که از بروز انواع فسادهای میکروبی و شیمیایی در ماده غذایی درون خود، جلوگیری به عمل آورد. حلالیت فیلم‌ها با افزودن مقادیر مختلف نانوذرات به جز نانوسلولز افزایش معنی‌دار ($P<0.05$) نشان داد. کمترین میزان درصد حلالیت مربوط به فیلم‌های حاوی ۱ و ۳ درصد نانو سلولز باکتریایی به میزان ۳۴/۶۸ درصد و ۳۲/۴۱ درصد نانو تیتانیوم دی اکسید به میزان ۴۲/۳۲ درصد بوده که این کاهش معنی‌دار ($P<0.05$) نبوده است. در حالی که در سایر تیمارها با افزودن نانوذرات حلالیت فیلم‌ها افزایش یافت به طوری که بیشترین مقدار حلالیت ۵۱/۸۱ درصد در فیلم حاوی ۳ درصد نانوکیتوزان بود. به طورکلی افزودن نانوذرات به بستر فیلم به جز در نانوکامپوزیت حاوی نانوسلولز باعث افزایش حلالیت فیلم‌ها گردید (جدول ۱). علت پدیده کاهش میزان حلالیت با افزایش نانوذرات سلولز به درون بستر پلیمری، می‌تواند ناشی از تشکیل پیوندهای هیدروژنی بین پروتئین و نانوسلولز باشد. اساساً سلولز قابل حل در آب نمی‌باشد، بهویژه بخش‌های کریستالی آن که به هیچ وجه قابل نفوذ نسبت به مولکول‌های آب نیستند. افزایش این ماده در فیلم، موجب کاهش میزان ماتریس شده، به این ترتیب جایگزینی بیشتر آن در آب موجب کاهش میزان حلالیت خواهد شد. نتایج حاصل با مشاهدات حاصل از پژوهش ردی و همکاران پیرامون افزودن نانوسلولز به پلیمر آگار همخوانی دارد.^(۳۱)

میکرومیسرهای موجود در فیلم‌ها یا به دلیل افزایش خاصیت آب‌گیری نانوذرات در اثر افزایش اندازه نانوذرات و یا هر دوی آن‌ها باشد. تأثیر نانوسلولز بر نفوذپذیری بخار آب در برخی مطالعات دیگر مشاهده شد و از نظر ساختار کریستالی متراکم ذرات نانوسلولز توضیح داده شد که به عنوان موانع نفوذناپذیر در مسیر انتقال مولکول‌های آب از طریق لایه‌ها عمل می‌کنند (۴۲). بنابراین، مولکول‌های آب در حال انتشار باید از طریق یک مسیر پریچ و خم به جای مسیر مستقیم در سراسر لایه‌ها حرکت کنند و سرعت نفوذ آن‌ها را کاهش دهند. یکی دیگر از دلایل احتمالی کاهش نفوذپذیری بخار آب، متراکم شدن سطح لایه‌ها و بسته شدن نسبی منافذ سطحی به دلیل وجود ذرات نانوسلولز است.

درصد رطوبت و حلالیت: حساسیت فیلم‌های مبتنی بر پلیمرهای زیستی به آب تأثیر قابل توجهی بر ماندگاری مواد غذایی بسته‌بندی شده دارد. مقاومت ضعیف در برابر آب یکی از عیوب اصلی اکثر فیلم‌های مبتنی بر پلیمرهای زیستی در بسته‌بندی مواد غذایی است (۴۳). با توجه به جدول ۱ افزودن نانوذرات مختلف موجب افزایش میزان رطوبت فیلم‌ها شده است. درصد رطوبت در فیلم فاقد نانوذره ۱۸/۱۲ درصد بوده است. کمترین میزان افزایش درصد رطوبت مربوط به فیلم حاوی ۱ و ۳ درصد نانوسلولز به ترتیب ۲۱/۱۳، ۲۰/۹۳ و بیشترین درصد رطوبت مربوط به فیلم حاوی ۳ درصد نانوذره تیتانیوم دی اکسید با ۲۴/۳۹ درصد بوده است. نانوکامپوزیت‌های حاوی درصدهای مختلف نانوذرات در مقایسه با فیلم فاقد ذرات نانو از نظر میزان درصد رطوبت افزایش معنی‌دار ($P<0.05$) داشتند. که با نتایج حاصل از پژوهش دماتوس و همکاران افزودن مقادیر مختلف تیتانیوم دی اکسید به ژلاتین همخوانی داشت (۴۰).

نانوذرات سلولز نیز مشاهده شد. کمترین کاهش اختلاف رنگ مربوط به نانوذرات تیتانیوم دی اکسید بوده است. شاخص سفیدی نیز با افزودن نانوذرات افزایش معنی‌داری ($P < 0.05$) یافت. شاخص سفیدی در فیلم فاقد نانوذره ۸۴/۲۷ بوده که کمترین میزان افزایش شاخص سفیدی مربوط به فیلم‌های حاوی نانوذرات تیتانیوم دی اکسید بوده است. در سایر فیلم‌ها میزان سفیدی تقریباً به یک میزان افزایش یافت. کدورت فیلم‌ها با افزودن نانوذرات به‌طور معنی‌دار ($P < 0.05$) افزایش یافت. میزان کدورت در فیلم فاقد نانوذره ۱/۲۸ بود. همچنین میزان کدورت فیلم‌های حاوی ۳ درصد تیتانیوم دی اکسید ۶/۶۶ بوده که بیشترین مقدار کدورت را در بین نانوذرات مختلف نشان داده است. مقادیر نفوذپذیری فیلم حاوی نانوذرات نسبت به نور در طول موج‌های بین ۲۰۰ تا ۹۰۰ نانومتر در شکل ۲ نشان داده شده است. افزودن نانوذرات موجب کاهش نفوذپذیری فیلم‌ها به نور در طول موج‌های مختلف، به‌خصوص در ناحیه فرابنفش و طول موج‌های کمتر از ۳۵۰ نانومتر گردید. کمترین میزان انتقال نور مربوط به فیلم حاوی ۳ درصد نانوذرات تیتانیوم دی اکسید و سپس مربوط به فیلم حاوی ۱ درصد نانوذره تیتانیوم دی اکسید و ۳ درصد نانوسلولز بوده است. که نشان‌دهنده این هست که نانوذرات تیتانیوم دی اکسید به میزان زیادی از عبور نور جلوگیری می‌کند که با نتایج حاصل از پژوهش وجودان و همکاران (۲۳) همخوانی دارد.

رنگ سطحی، کدورت و نفوذپذیری نسبت به نور: رنگ و شفافیت بسته‌بندی مواد غذایی، نقش مهمی در ظاهر و مقبولیت آن‌ها توسط مصرف‌کننده دارد. برای بیان شفافیت فیلم‌ها از شاخص تیرگی (کدری) استفاده می‌شود، به‌طوری‌که با افزایش کدری از شفافیت فیلم کاسته می‌شود (۳۴). مقادیر L^* و a^* b^* هانتر و اختلاف رنگی کل (ΔE) فیلم‌ها در جدول ۲ مشاهده می‌شود. افزودن نانوذرات منجر به تغییر معنی‌دار ($P < 0.05$) L^* و b^* نانوکامپوزیت‌های حاوی نانوذره گردید. روشنایی فیلم‌ها با افزودن نانوذرات افزایش یافت. به‌طورکلی با افزودن نانوذرات مقادیر a^* به شکل معنی‌دار ($P < 0.05$) تغییر یافت، بیشترین مقدار a^* مربوط به فیلم حاوی ۳ درصد نانو تیتانیوم دی اکسید ۳/۵۱ و کمترین میزان مربوط به ۱ درصد نانورس و ۲/۱۱ بوده است. مقادیر b^* با افزودن ذرات نانو کاهش معنی‌دار ($P < 0.05$) یافت. بیشترین مقدار b^* مربوط به فیلم فاقد نانوذره و ۷/۵۵ و سپس به ترتیب در فیلم حاوی ۳ و ۱ درصد نانو ذرات تیتانیوم دی اکسید و ۳ درصد نانو سلولز بوده است.

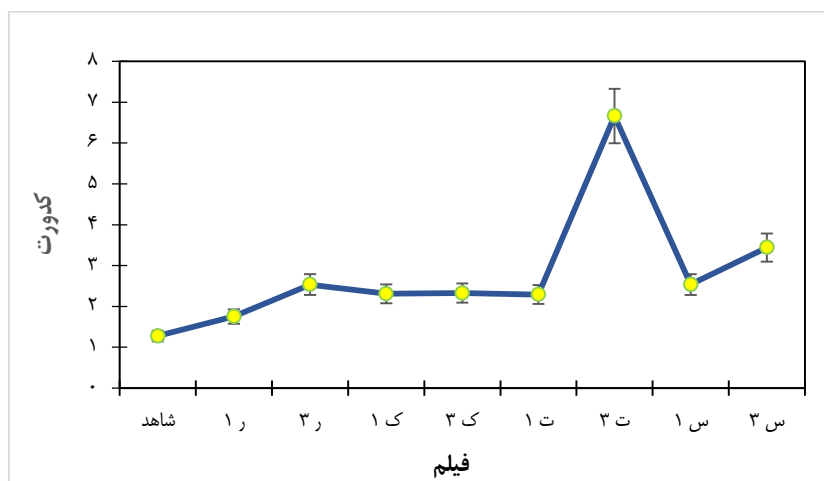
میزان اختلاف رنگی کل فیلم‌ها به صورت معنی‌دار ($P < 0.05$) از ۱۱/۲۸ در فیلم فاقد نانوذره بوده که با افزودن نانوذرات به بستر فیلم پروتئینی (۳۴) میزان اختلاف رنگ به شکل معنی‌داری ($P < 0.05$) کاهش یافت. کمترین میزان اختلاف ۴/۹۷ و مربوط به فیلم حاوی ۳ درصد نانوکیتوزان و سپس بیشترین کاهش اختلاف رنگ در نانوذرات رس و

مقایسه تأثیر افزودن نانوذرات مختلف بر ویژگی‌های ... / اعظم صیامیان و همکاران

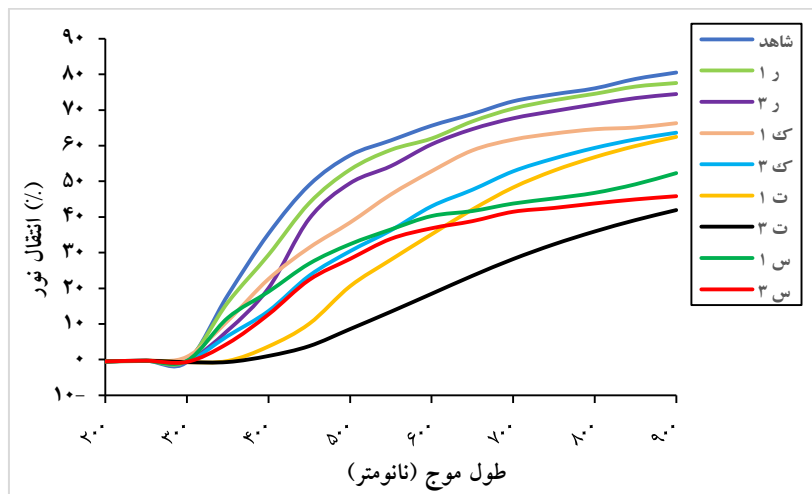
جدول ۲- ویژگی‌های رنگ سطحی فیلم پروتئینی حاوی مقادیر مختلف از نانوذرات.

| نوع فیلم | L* | a* | b* | ΔE | WI |
|--------------------------|--------------------------|-------------------------|--------------------------|--------------------------|---------------------------|
| شاهد | ۸۶/۴۸ ^c | ۲/۰±۷۵/۰۵ ^c | ۷/۰±۵۵/۰۳۶ ^d | ۱۱/۲۸ ^f | ۸۴/۲۷ ^e |
| رس ۱ درصد | ۹۱/۲۳ ^a | ۲/۱۱ ^a | ۳/۶۲ ^c | ۵/۴۱ ^b | ۹۰/۲۸ ^b |
| رس ۳ درصد | ۹۱/۰±۴۱/۰۶۵ ^a | ۲/۰±۷۲/۰۳۱ ^c | ۲/۰±۲۶/۰۶۴ ^b | ۵/۰±۰۵۸/۰۷۱ ^a | ۹۰/۰±۰۹/۰۷۱ ^a |
| کیتوزان ۱ درصد | ۹۱/۰±۴۲/۰۳۶ ^a | ۲/۰±۲۹/۰۶۱ ^c | ۲/۰±۷۲/۰۶۶ ^b | ۵/۰±۲۵/۰۴۶ ^b | ۹۰/۰±۰۹/۰۱۹ ^a |
| کیتوزان ۳ درصد | ۹۱/۰±۴۲/۰۷۸ ^a | ۲/۰±۲۹ ^b | ۲/۰±۷۲/۰۶۱ ^a | ۴/۹۷ ^a | ۹۰/۰±۷۱/۰۷ ^a |
| تیتانیوم دی اکسید ۱ درصد | ۸۸/۰±۶۲/۰۲۷ ^b | ۲/۰±۷۴/۰۲۶ ^c | ۳/۰±۵۳/۰۶ ^{bc} | ۷/۰±۹۸/۰۳۹ ^c | ۸۷/۰±۰۵۸/۰۳۶ ^d |
| تیتانیوم در اکسید ۳ درصد | ۸۸/۰±۶۴/۰۳۸ ^b | ۳/۰±۵۱/۰۴ ^d | ۳/۰±۵۳/۰۳۵ ^{bc} | ۷/۰±۵۷/۰۲۷ ^d | ۸۷/۰±۷۹/۰۳۵ ^c |
| سلولز ۱ درصد | ۹۱/۰±۴۲/۰۱۵ ^a | ۲/۰±۷۱/۰۲۷ ^a | ۲/۰±۲۴/۰۳۸ ^b | ۵/۰±۰۹/۰۲۵ ^a | ۹۰/۰±۵۶/۰۰۲۵ ^a |
| سلولز ۳ درصد | ۹۱/۰±۲۴/۰۰۶ ^a | ۲/۰±۷۱/۰۳۱ ^c | ۳/۰±۵۱/۰۱۵ ^b | ۵/۰±۰۷۰/۰۱۸ ^c | ۹۰/۰±۱۹/۰۰۷ ^b |

^a، ^b و ^c حروف کوچک در هر ستون نشان‌دهنده اختلاف معنی‌دار بین تیمارها در سطح $P<0.05$



شکل ۱- میزان کدورت فیلم‌های حاوی مقادیر مختلف نانوذرات.



شکل ۲- درصد انتقال نور فیلم‌های حاوی مقادیر مختلف نانوذرات.

خواص مکانیکی و بیشترین کاهش در میزان نفوذپذیری به بخار آب فیلم‌ها و کمترین میزان رطوبت و حلالیت در فیلم‌ها در مقایسه با سایر نانوذرات بوده است. همچنین فیلم‌های حاوی ۳ درصد نانوذرات تیتانیوم دی‌اکسید بیشترین میزان کدورت و کمترین میزان انتقال نور را دارا بوده است. پس از نانو تیتانیوم دی‌اکسید فیلم حاوی نانوسلولز ۳ درصد بیشترین کدورت را نشان داده است. با توجه به نتایج بالا فیلم حاوی ۳ درصد نانوسلولز از نظر خواص مکانیکی و فیزیکی بهترین ویژگی را نسبت به سایر فیلم‌های حاوی نانوذرات نشان داد و از نظر ویژگی‌های ظاهری نیز بهبود قابل توجهی نشان داد.

نتیجه‌گیری کلی

در پژوهش حاضر جهت بهبود ویژگی‌های فیلم پروتئین فانوس ماهی، اثر افزودن دو سطح ۱ و ۳ درصد) از هر کدام از نانوذرات (رس، کیتوزان، تیتانیوم دی‌اکسید و سلولز باکتریایی) بر خواص فیزیکی، مکانیکی، ظاهری نانوکامپوزیت‌ها به منظور انتخاب بهترین درصد و نوع نانوذره جهت تعیین فیلم زیست‌تخربی‌پذیر بهینه مورد مطالعه و بررسی قرار گرفت. نتایج نشان داد، افزودن نانوذرات می‌تواند بر روی خصوصیات و ویژگی‌های فیلم اثر مثبت داشته و ویژگی‌های فیلم را بهبود بخشد. بیشترین تأثیر افزودن نانوذرات به فیلم پروتئینی مربوط به فیلم حاوی ۳ درصد نانوذره سلولز باکتریایی بوده که سبب بهبود

منابع

1. Ferreira, A. R., Alves, V. D., & Coelhoso, I. M. (2016). Polysaccharide-based membranes in food packaging applications. *Membranes*, 6(2), 22.
2. Young, E., Mirosa, M., & Bremer, P. (2020). A systematic review of consumer perceptions of smart packaging technologies for food. *Frontiers in Sustainable Food Systems*, 4, 63.
3. Robertson, G. (2016). Chapter 7. Metal packaging materials. In (pp. 189-228): CRC Press.
4. Alves, V., Costa, N., Hilliou, L., Larotonda, F., Gonçalves, M., Sereno, A., & Coelhoso, I. (2006). Design of biodegradable composite films for food packaging. *Desalination*, 199(1-3), 331-333.
5. Salvatore, M., Marra, A., Duraccio, D., Shayanfar, S., Pillai, S. D., Cimmino, S., & Silvestre, C. (2016). Effect of electron beam irradiation on the properties of polylactic acid/montmorillonite nanocomposites for food packaging applications. *Journal of Applied Polymer Science*, 133(2).
6. Khalil, H., Tye, Y., Saurabh, C., Leh, C., Lai, T., Chong, E., Fazita, M., Hafizd, J. M., Banerjee, A., & Syakir, M. (2017). Biodegradable polymer films from seaweed polysaccharides: A review on cellulose as a reinforcement material. *Express Polymer Letters*, 11(4).
7. Salgado, P. R., Ortiz, C. M., Musso, Y. S., Di Giorgio, L., & Mauri, A. N. (2015). Edible films and coatings containing bioactives. *Current Opinion in Food Science*, 5, 86-92.
8. Tomadoni, B., Capello, C., Valencia, G. A., & Gutiérrez, T. J. (2020). Self-assembled proteins for food applications: A review. *Trends in Food Science & Technology*, 101, 1-16.
9. Limpan, N., Prodpran, T., Benjakul, S., & Prasarpran, S. (2012). Influences of degree of hydrolysis and molecular weight of poly (vinyl alcohol)(PVA) on properties of fish myofibrillar protein/PVA blend films. *Food Hydrocolloids*, 29(1), 226-233.
10. Pires, C., Ramos, C., Teixeira, G., Batista, I., Mendes, R., Nunes, L., & Marques, A. (2011). Characterization of biodegradable films prepared with hake proteins and thyme oil. *Journal of Food Engineering*, 105(3), 422-428.
11. Othman, S. H., Nordin, N., Azman, N. A. A., Tawakkal, I. S. M. A., & Basha, R. K. (2021). Effects of nanocellulose

- fiber and thymol on mechanical, thermal, and barrier properties of corn starch films. *International journal of biological macromolecules*, 183, 1352-1361.
12. Kuswandi, B., & Moradi, M. (2019). Improvement of food packaging based on functional nanomaterial. *Nanotechnology: applications in energy, drug and food*, 309-344.
13. Yang, H. C., Wang, W. H., Huang, K. S., & Hon, M. H. (2010). Preparation and application of nanochitosan to finishing treatment with anti-microbial and anti-shrinking properties. *Carbohydrate Polymers*, 79 (1), 176-179.
14. Ukhtezari, S., Almasi, H., Pirsa, S., Zandi, M., & Pirouzifard, M. (2017). Development of bacterial cellulose based slow-release active films by incorporation of *Scrophularia striata* Boiss. extract. *Carbohydrate Polymers*, 156, 340-350.
15. Jia, H., Jia, Y., Wang, J., Hu, Y., Zhang, Y., & Jia, S. (2009, October). Potentiality of bacterial cellulose as the scaffold of tissue engineering of cornea. In *2009 2nd International Conference on Biomedical Engineering and Informatics* (pp. 1-5). IEEE.
16. Liyaskina, E., Revin, V., Paramonova, E., Nazarkina, M., Pestov, N., Revina, N., & Kolesnikova, S. (2017). Nanomaterials from bacterial cellulose for antimicrobial wound dressing. *Journal of Physics: Conference Series*.
17. Nordin, N., Othman, S., Kadir Basha, R., & Abdul Rashid, S. (2018). Mechanical and thermal properties of starch films reinforced with microcellulose fibres.
18. Slavutsky, A. M., Bertuzzi, M. A., Armada, M., García, M. G., & Ochoa, N. A. (2014). Preparation and characterization of montmorillonite/brea gum nanocomposites films. *Food Hydrocolloids*, 35, 270-278.
19. Fabra, M., Jiménez, A., Atarés, L., Talens, P., & Chiralt, A. (2009). Effect of fatty acids and beeswax addition on properties of sodium caseinate dispersions and films. *Biomacromolecules*, 10(6), 1500-1507.
20. Alexandre, M., & Dubois, P. (2003). Mater Sci. Eng. Rep. 2000, 28, 1-63.(c) Ray, SS; Okamoto, M. *Prog. Polym. Sci.* 28, 1539-1641.
21. Ali, I., Suhail, M., Alothman, Z. A., & Alwarthan, A. (2018). Recent advances in syntheses, properties and applications of TiO₂ nanostructures. *RSC advances*, 8 (53), 30125-30147.
22. Zhang, X., Xiao, G., Wang, Y., Zhao, Y., Su, H., & Tan, T. (2017). Preparation of chitosan-TiO₂ composite film with efficient antimicrobial activities under visible light for food packaging applications. *Carbohydrate Polymers*, 169, 101-107.
23. Vejdan, A., Ojagh, S. M., Adeli, A., & Abdollahi, M. (2016). Effect of TiO₂ nanoparticles on the physico-mechanical and ultraviolet light barrier properties of fish gelatin/agar bilayer film. *LWT-Food Science and Technology*, 71, 88-95.
24. Li, Y., Jiang, Y., Liu, F., Ren, F., Zhao, G., & Leng, X. (2011). Fabrication and characterization of TiO₂/whey protein isolate nanocomposite film. *Food Hydrocolloids*, 25(5), 1098-1104.
25. He, Q., Zhang, Y., Cai, X., & Wang, S. (2016). Fabrication of gelatin-TiO₂ nanocomposite film and its structural, antibacterial and physical properties. *International journal of biological macromolecules*, 84, 153-160.
26. De Moura, M. R., Aouada, F. A., Avena-Bustillos, R. J., McHugh, T. H., Krochta, J. M., & Mattoso, L. H. (2009). Improved barrier and mechanical properties of novel hydroxypropyl methylcellulose edible films with chitosan/tripolyphosphate nanoparticles. *Journal of Food Engineering*, 92(4), 448-453.
27. de Moura, M. R., Lorevice, M. V., Mattoso, L. H., & Zucolotto, V. (2011). Highly stable ,edible cellulose films incorporating chitosan nanoparticles. *Journal of food science*, 76(2), 25-29.
28. Hosseini, S. F., Rezaei, M., Zandi, M., & Farahmandghavi, F. (2015). Fabrication of bio-nanocomposite films based on fish gelatin reinforced with chitosan nanoparticles. *Food Hydrocolloids*, 44, 172-182.

29. Pereda, M., Amica, G., Rácz, I., & Marcovich, N. E. (2011). Structure and properties of nanocomposite films based on sodium caseinate and nanocellulose fibers. *Journal of Food Engineering*, 103(1), 76-83.
30. Atef, M., Rezaei, M., & Behrooz, R. (2014). Preparation and characterization agar-based nanocomposite film reinforced by nanocrystalline cellulose. *International journal of biological macromolecules*, 70, 537-544.
31. Reddy, J. P., & Rhim, J. W. (2014). Characterization of bionanocomposite films prepared with agar and paper-mulberry pulp nanocellulose. *Carbohydrate Polymers*, 110, 480-488.
32. Memiş, S., Tornuk, F., Bozkurt, F., & Durak, M. Z. (2017). Production and characterization of a new biodegradable fenugreek seed gum based active nanocomposite film reinforced with nanoclays. *International journal of biological macromolecules*, 103, 669-675.
33. Alexandre, E. M. C., Lourenço, R. V., Bittante, A. M. Q. B., Moraes, I. C. F., & do Amaral Sobral, P. J. (2016). Gelatin-based films reinforced with montmorillonite and activated with nanoemulsion of ginger essential oil for food packaging applications. *Food Packaging and Shelf Life*, 10, 87-96.
34. Farahnaky, A., Dadfar, S. M. M., & Shahbazi, M. (2014). Physical and mechanical properties of gelatin-clay nanocomposite. *Journal of Food Engineering*, 122, 78-83.
35. ASTM. (2002). Standard test methods for water vapor transmission of material, E 96-95. Annual book of ASTM, American Society for Testing and Material. Philadelphia, PA.
36. ASTM. (1995). Standard test method for water vapour transmission of materials (E 96-95). *Annual Book of American Standard Testing Methods*, 719-725.
37. Ojagh, S. M., Rezaei, M., Razavi, S. H., & Hosseini, S. M. H. (2010). Development and evaluation of a novel biodegradable film made from chitosan and cinnamon essential oil with low affinity toward water. *Food Chemistry*, 122(1), 161-166.
38. Tunc, S., Angellier, H., Cahyana, Y., Chalier, P., Gontard, N., & Gastaldi, E. (2007). Functional properties of wheat gluten/montmorillonite nanocomposite films processed by casting. *Journal of membrane science*, 289(1-2), 159-168.
39. Ge et al., 2018).
40. de Matos Fonseca, J., Valencia, G. A., Soares, L. S., Dotto, M. E. R., Campos, C. E. M., Moreira, R. d. F. P. M., & Fritz, A. R. M. (2020). Hydroxypropyl methylcellulose-TiO₂ and gelatin-TiO₂ nanocomposite films: Physicochemical and structural properties. *International journal of biological macromolecules*, 151, 944-956.
41. Mir, S. A., Dar, B., Wani, A. A., & Shah, M. A. (2018). Effect of plant extracts on the techno-functional properties of biodegradable packaging films. *Trends in Food Science & Technology*, 80, 141-154.
42. Poonguzhalai, R., Basha, S. K., & Kumari, V. S. (2017). Synthesis and characterization of chitosan-PVP-nanocellulose composites for in-vitro wound dressing application. *International journal of biological macromolecules*, 105, 111-120.
43. Haghghi, H., Leugoue, S. K., Pfeifer, F., Siesler, H. W., Licciardello, F., Fava, P., & Pulvirenti, A. (2020). Development of antimicrobial films based on chitosan-polyvinyl alcohol blend enriched with ethyl lauroyl arginate (LAE) for food packaging applications. *Food Hydrocolloids*, 100, 105419.